

IN MATHEMATICS

Nicola Arcozzi

Concordanze

Perché i interessanti le concordanze di quantità positive e negative in una somma?

Tentetivo di risposte in 10 quesiti.

Quesito (i). Sere (non assolumente) convergenti.

(a) Supponiamo che: $\sum_{n=0}^{\infty} a_n < \infty$ e $\sum_{n=0}^{\infty} |a_n| = \infty$ ($a_n \in \mathbb{R}$)

$$\Rightarrow \forall \alpha \in [-\infty, +\infty] \exists \sigma \in \Sigma(\mathbb{N}) \text{ t.c. } \sum_{n=0}^{\infty} a_{\sigma(n)} = \alpha$$

$\Sigma(\mathbb{N})$: biiezioni (permutazioni) di \mathbb{N} .

(b) Confronta con: $\sum_{n=0}^{\infty} |a_n| < \infty \Rightarrow \exists \alpha \in \mathbb{R} \forall \sigma \in \Sigma(\mathbb{N})$:

$$\sum_{n=0}^{\infty} a_{\sigma(n)} = \alpha$$

Esercizi (riferimenti di quanto visto sopra).

(1) $\exists \sigma \in \Sigma(\mathbb{N})$: $\sum_{n=0}^{\infty} a_{\sigma(n)} < \infty$ se e solo se

$$(1 \circ 1) \sum_{n=0}^{\infty} |a_n| = +\infty, \text{ oppure}$$

$$(1 \circ 2) \sum_{\{n : a_n \geq 0\}} a_n = +\infty = - \sum_{\{n : a_n \leq 0\}} a_n \quad e \quad \lim_{n \rightarrow \infty} a_n = 0$$

(2) $\sum_{n=0}^{\infty} a_n < \infty$ e $\sum_{n=0}^{\infty} |a_n| = +\infty \Rightarrow \forall [\alpha, \beta] \subseteq [-\infty, +\infty]$

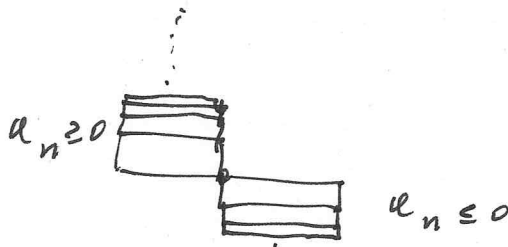
$\exists \sigma \in \Sigma(\mathbb{N})$ t.c. $\sum_{n=0}^{\infty} a_{\sigma(n)}$ ha $[\alpha, \beta]$ come insieme limite

(3) Dimostrare (2).

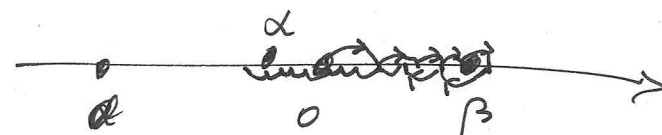
Seguenimento. $\sum a_n < \infty$ e $\sum |a_n| = +\infty$

$$\Rightarrow \sum_{n: a_n \geq 0} a_n = +\infty = - \sum_{n: a_n \leq 0} a_n \quad \text{e } a_n \rightarrow 0.$$

Ordino gli $a_n \geq 0$ in ordine decrescente e gli $a_n \leq 0$ in ordine decrescente:

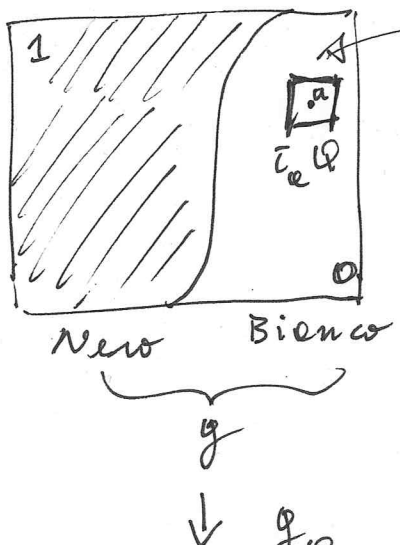


Li uso per una "scansione" delle nte neli:



Messaggio: quando le connessioni svolgono un ruolo, le somme infinite non sono commutabili (l'ordine conta!).

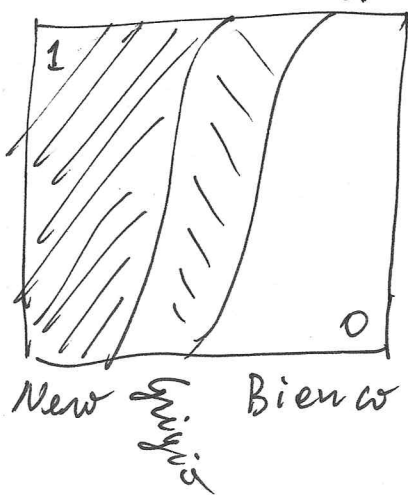
Quadro (ii): Rilevo di f su Q e una altre scale.



$$\frac{1}{|Q|} \chi_Q (\alpha - z) = f(\alpha - z)$$

$$g(\alpha) = \int f(\alpha - z) g(z) dz \\ = \frac{1}{|Q|} \int_Q g(z) dz$$

$$z_Q = Q + \alpha$$

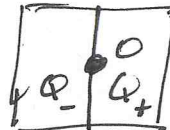


Punto di vista sulle
Tracce del Potenziali:
 g_Q riluce il rileglio
di g altre scale $\text{Riem}(Q)$.

E' una riluzione "stetica".

$$\Psi(z) = \frac{1}{\Omega_{Q_1}} (\chi_{Q_+} - \chi_{Q_-})(z)$$

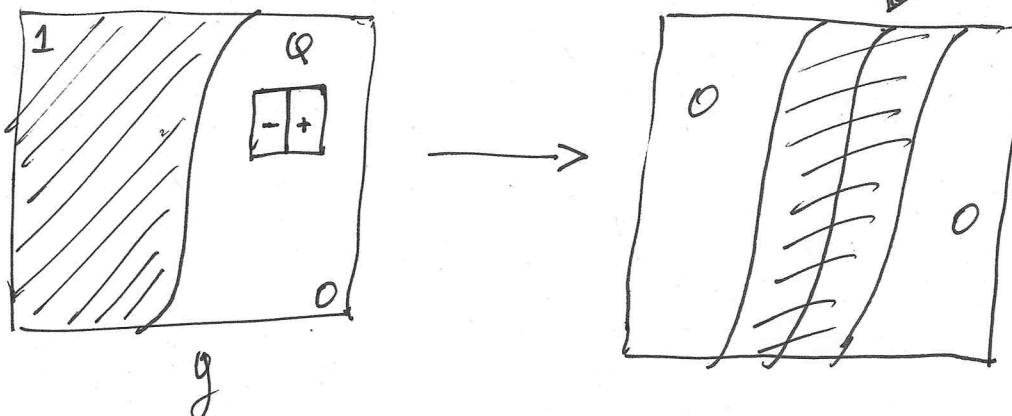
Q



L3

$$\tilde{g}_Q(a) = \int \Psi(a-z) g(z) dz +$$

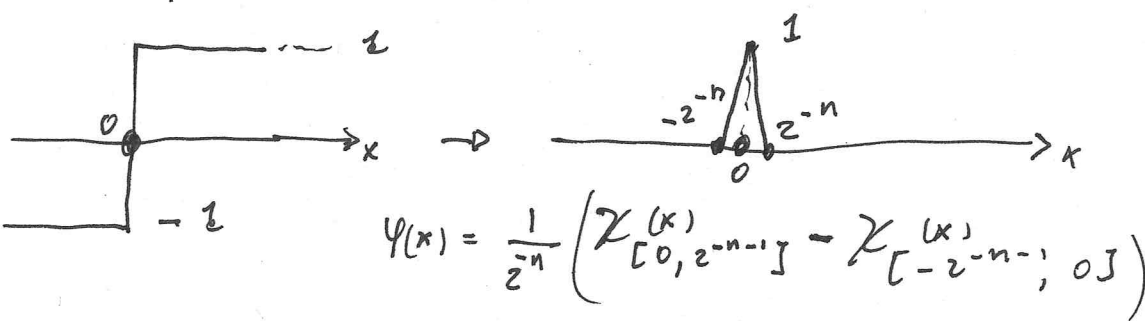
$\in [-1, 1]$



La convoluzione mette in evidenza il rettangolo che emerge dalle scale diem (Q), mentre annulla tutto ciò che a scale diem (Q) non presente debbe più:

Punto di vista dell'Analisi Armonica.

Esempio in dimensione $N=1$.



- Il punto di vista della Teoria del Potenziale privilegia le somme, ispirandosi a $\underline{f(x-h) + f(x+h)}$

- Il punto di vista dell'Analisi Armonica privilegia le differenze,

$$\frac{f(x+h) - f(x-h)}{2h} \underset{h \rightarrow 0}{\sim} f'(x)$$

- In entrambi un integrale ci dà una "scelta".
- Spesso i due punti di vista sono entrambi utili (funzioni armoniche, p. esempio).

Quadro(iii). Medie (scarto da).

$$\bar{a} = \text{medie } (a_1, \dots, a_n) := \frac{a_1 + \dots + a_n}{n}$$

$d_j := a_j - \bar{a}$ misura quanto a_j {è} - marge da \bar{a} .

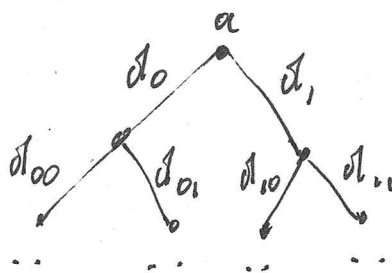
$$\sum_{j=1}^n d_j = 0 \quad (\text{non tutti stanno sopra la media!})$$

$$\frac{1}{n} \sum_{j=1}^n d_j^2 : \text{scarto quadratico medio.}$$

una buona misura del dettaglio contenuto in $\{a_1, \dots, a_n\}$.

Estensioni: pesati, ingegneri...

Quadro(iv). Martingale Ricettiva (Teste o Coda).



$$(*) \left\{ \begin{array}{l} d_{00} + d_{01} = 0 \\ d_{00} + d_{01} = 0 = d_{10} + d_{11} \\ \dots \end{array} \right.$$

$$\left. \begin{array}{l} a_0 = a + d_0 \\ a_1 = a + d_1 \end{array} \right\} \rightarrow \frac{a_0 + a_1}{2} = a$$

$$\left. \begin{array}{l} a_{00} = a_0 + d_{00} \\ a_{01} = a_0 + d_{01} \end{array} \right\} \rightarrow \frac{a_{00} + a_{01}}{2} = a_0$$

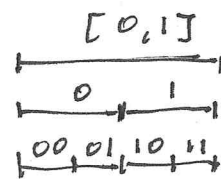
$$(a_{00} + a_{01} + a_{10} + a_{11})/4 = (a_0 + a_1)/2 = a$$

ecatture...

(a) Una macchina per produrre. $\varphi \in L^1([0,1])$.

$$I = \left[\frac{j-1}{2^n}, \frac{j}{2^n} \right] \quad 1 \leq j \leq 2^n \quad (\text{intervallo Ricettivo}).$$

$$\varphi(I) := \frac{1}{|I|} \int_I \varphi(x) dx$$



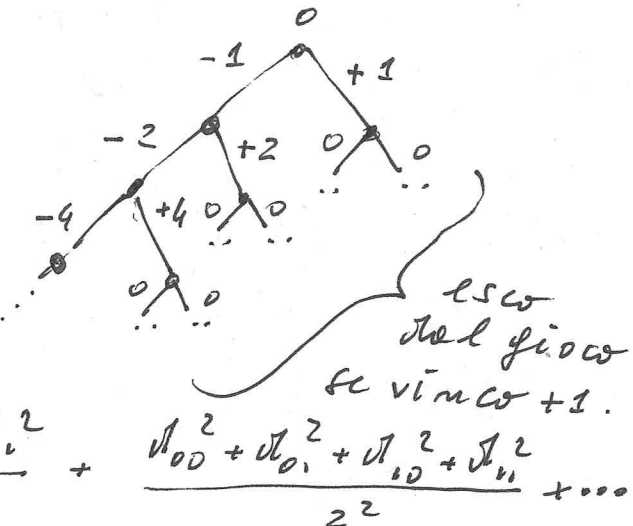
stichettature degli intervalli

$$a = \int_0^1 \varphi dx$$

$$a_0 = \frac{1}{|I_{00}|} \int_{I_{00}} \varphi dx; \quad a_1 = \frac{1}{|I_{01}|} \int_{I_{01}} \varphi dx \quad \dots \text{ ecatture}$$

Tutte le martingale vengono dette meccaniche? (E)

N° 0: "lascia o restappice"



Esercizio

(1) Se $\Psi \in L^2([0,1])$,

allora $\|\Psi\|_{L^2}^2 = a^2 + \frac{\sigma_0^2 + \sigma_1^2}{2} + \frac{\sigma_{00}^2 + \sigma_{01}^2 + \sigma_{10}^2 + \sigma_{11}^2}{2^2} + \dots$

(2) Se $a; \sigma_0, \sigma_1, \sigma_{00}, \sigma_{01}, \sigma_{10}, \sigma_{11}; \dots$

so ottiscono le relazioni (1) e

$$a^2 + \frac{\sigma_0^2 + \sigma_1^2}{2} + \frac{\sigma_{00}^2 + \sigma_{01}^2 + \sigma_{10}^2 + \sigma_{11}^2}{2^2} + \dots < +\infty,$$

allora $\exists \Psi \in L^2([0,1])$ t.c. la martingala

è protetta delle meccaniche (2).

- Variazioni sul tema:
 - mappa di Poisson
 - spazi di Hardy

Quadro(V): sistemi ortonormali in L^2 .

Esercizio. Mostriamo che non esiste un s.o.n.o.c. per $L^2([0,1])$, $\{\Psi_j\}_{j=1}^\infty$, con $\Psi_j \geq 0 \quad \forall j$.

Sia (X, m) s.t misura, o-finito.

$A \subseteq X$ misurabile è un atomo sse $m(E \cap A) = \begin{cases} m(A) \\ 0 \end{cases}$

$\forall E \subseteq X$ misurabile. (map)

E.s. in $\ell^2(\mathbb{N})$ ogni $\{e_n\}$ è un atomo.

(X, m) è atomico se $X = \bigcup_{j=1}^\infty A_j$ v N

con ogni A_j atomo e $m(N) = 0$.

Esercizio. Estendere l'esercizio precedente agli spazi atomici.

Motiv: l'ortogonalità in L^2 ci dice che (nella
caso non banali) delle connessioni.

Quedno (Vi): Perché la serie di Fourier?

$L^2([0,1])$: s.o.n.c. privilegiati?

$$[0,1] \rightarrow \mathbb{T} \quad x \mapsto e^{2\pi i x} \quad \text{--> } \mathbb{T} \text{ è un gruppo abeliano}$$

$$(x,y) \mapsto x+y \pmod{\mathbb{Z}}$$

$$\tau_a x = x+a \pmod{\mathbb{Z}}$$

$$\frac{\tau_h f(x) - f(x)}{h} \xrightarrow[h \rightarrow 0]{} -\frac{d}{dx} f(x) : \begin{cases} -\frac{d}{dx} \text{ è il generatore} \\ \text{infinitesimale} \\ \text{delle traslazioni;} \\ \tau_h = e^{-h \cdot \frac{d}{dx}} \end{cases}$$

$$\tau_h f(x) = f(\tau_h x) = f(x-h)$$

Diagonalizzare $\frac{d}{dx}$:

$$\begin{cases} \frac{d}{dx} e = \lambda e \\ e(1) = e(0) \end{cases}$$

$\Leftrightarrow e = e_n(x) = e^{2\pi i n x}, \quad \lambda = 2\pi i n \quad (n \in \mathbb{Z}).$

($2\pi i n$ ento valore; e_n ento vettore).

"Fourier Spectrali". $\{e_n\}_{n \in \mathbb{Z}}$ è un s.o.n.c.
di $L^2([0,1])$.

$$f \in L^2([0,1]) \Rightarrow f(x) \stackrel{L^2}{=} \sum_{n \in \mathbb{Z}} \langle f, e_n \rangle_{L^2} \cdot e_n(x)$$

$$= \sum_{n \in \mathbb{Z}} \hat{f}(n) \cdot e^{2\pi i n x}$$

$$\text{con } \hat{f}(n) = \int_0^1 e^{-2\pi i n x} f(x) dx$$

Trovare di Lo Corleson (19). La serie
converge puntualmente a 0.

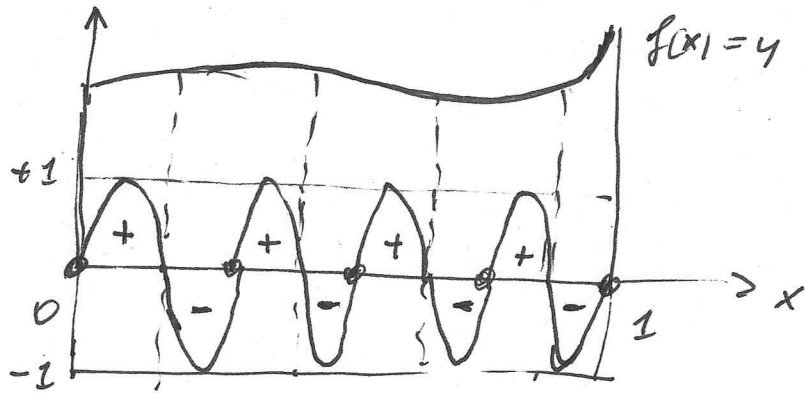
Oss. $f \in L^2([0,1]) \Rightarrow \sum |\hat{f}(n)|^2 = \|f\|_{L^2}^2 < \infty$, (7)

quindi $\hat{f}(n) \xrightarrow[n \rightarrow \infty]{} 0$,

ma $|\hat{f}(n)| = \left| \int_0^1 f(x) e^{-2\pi i n x} dx \right| \leq \int_0^1 |f(x)| dx$,

costante.

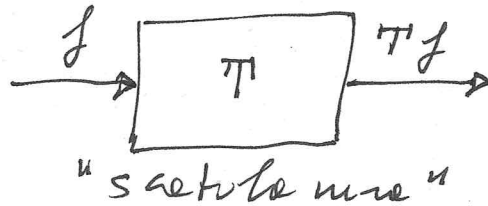
Il sistema $\{e_n\}_{n \in \mathbb{Z}}$ è piano di cancellazioni



e_n "rimosce" il segno di f , annullandone l'integrale.

Quadro (ii). Operatori che commutano con le trasformazioni in $L^2([0,1])$.

$f: [0,1] \rightarrow \mathbb{C}$
"segnale periodico"



$Tf: [0,1] \rightarrow \mathbb{C}$

Se T è un operatore ingegneristico (o sistema fisico) i ragionevoli chiedono:

$$\tau_a(Tf)(x) = T(\tau_a f)(x)$$

(comodità rispetto al tempo).

Esercizio: Se $\forall f \in L^2 \Rightarrow Tf \in L^2$, allora $(Tf)_{\hat{n}} = \widehat{T(n)} \hat{f}_{\hat{n}}$

per una successione $\{\widehat{T(n)}\}_{n \in \mathbb{Z}}$ fissata

(e limitata! : $|\widehat{T(n)}| \leq \|T\|_{L^2} \quad \forall n \in \mathbb{Z}$).

Il viaovia è ovvio.

Esercizio. Se $k \in L^2([0,1])$ e $T_k f(x) = \int_0^1 k(x-t) f(t) dt$
 $= k * f(x)$, allora $\|T_k f\|_{L^2} \leq \|k\|_{L^2} \cdot \|f\|_{L^2}$ most \mathbb{Z}

e (1) $\tau_a(T_k f) = T_k(\tau_a f)$; $\widehat{T_k(n)} = \widehat{k}(n) \quad \forall n \in \mathbb{Z}$.

Quadro(viii): trasformate gli Hilbert sul concluso. (8)

Sia $H: L^2([0,1]) \rightarrow L^2([0,1])$ come in (vii) con
 $\hat{H}(n) = -i \operatorname{sign}(n)$ ($\hat{H}(0) = 0$).

Motivazioni:

(1) Analisi complessa. Se $f(z) = v(z) + i \tilde{v}(z)$ è
olomorfa in $\Delta = \{z : |z| \leq 1\}$, $v(0) = 0$ e se
identifico $\tilde{v}(x) = v(e^{2\pi i x})$, $\tilde{v}: [0,1] \rightarrow \mathbb{R}$,
allora $\tilde{v} = H v$. (Esercizio: seguire stesse
equazioni di Cauchy-Riemann).

(2) Informatica elettronica / Teoria degli operatori.

$(\tilde{v} + i H \tilde{v})^{(n)} = \tilde{v}^{(n)} (1 + \operatorname{sgn}(n)) = 0$ se $n < 0$:
I + i H filtra le frequenze $e^{2\pi i n x}$ t.c. $n < 0$,
ponendo ortogonalmente L^2 su
 $H^2 = \{\tilde{v} \in L^2([0,1]) : \tilde{v}^{(n)}(n) = 0 \quad \forall n < 0\}$ (spazio
di Hardy).

(3) Calcolo (periodo) differenziale.

$$\frac{d}{dx} e^{2\pi i n x} = 2\pi i n \cdot e^{2\pi i n x}; \quad \frac{d^2}{dx^2} e^{2\pi i n x} = -4\pi^2 n^2 e^{2\pi i n x};$$

quindi $\left\{ \frac{d}{dx} \circ \left(-\frac{d^2}{dx^2} \right)^{-1/2} \right\} e^{2\pi i n x} = \frac{i n}{|n|} \quad (\text{se } n \neq 0),$

Cioè:

$$H = - \frac{d}{dx} \circ \left(-\frac{d^2}{dx^2} \right)^{-1/2}$$

(dove s'è usato un "calcolo funzionale" elementare).

o Variazioni sul tema. Se Δ è il laplaciano in \mathbb{R}^n ,
al'operatore $R_j = \frac{d}{dx_j} \circ (-\Delta)^{-1/2}$ è la
trasformata di Riesz in \mathbb{R}^n .

H proviamo che un nucleo $k \in L^2([0,1])$ come in (vii)? NO. Se $k \in L^2([0,1])$, allora $\hat{k}(n) \rightarrow 0$ ($T.$ del Riemann-Lebesgue), mentre $|\hat{k}(n)| = 1 \quad \forall n \neq 0$.

Non ci annunziemo così facilmente!

Se $\hat{H}(n) = \hat{k}_n$, avremmo

$$|k(x)| = \sum_{n \in \mathbb{Z}} \hat{H}(n) e^{2\pi i n x} = -i \sum_{\substack{n \in \mathbb{Z} \\ n \neq 0}} sgn(n) e^{2\pi i n x},$$

che diverge! Poco male; provo a definire

$$|k(x)| = \lim_{r \rightarrow 1^-} \sum_{\substack{n \in \mathbb{Z} \\ n \neq 0}} \hat{H}(n) r^{|n|} e^{2\pi i n x}$$

$$= \lim_{r \rightarrow 1^-} \sum_{\substack{n \in \mathbb{Z} \\ n \neq 0}} -i sgn(n) r^{|n|} e^{2\pi i n x}$$

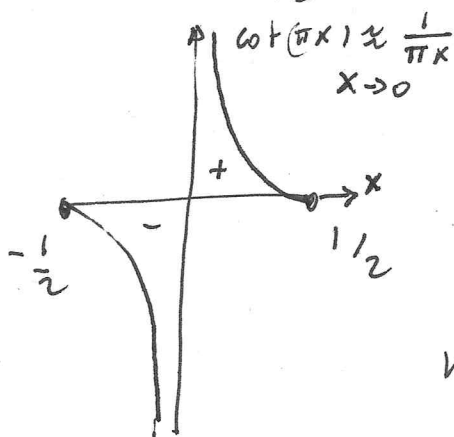
$$= \lim_{\substack{r=|z| \rightarrow 1^- \\ z \in \mathbb{C}}} \frac{z - \bar{z}}{|z - \bar{z}|^2} \quad (\text{Esercizio!})$$

$$z = r e^{2\pi i x}$$

$$= \cot(\pi x) \quad (\text{Esercizio!}).$$

Proviamo con

$$Hf(x) = \int_{-1/2}^{1/2} \cot(\pi(x-y)) f(y) dy = \int_{-1/2}^{1/2} f(x-y) \cdot \cot(\pi y) dy :$$



integrale divergente quasi sempre!

$$\int_{-1/2}^{1/2} |f(x-y)| \cdot |\cot(\pi y)| dy = +\infty$$

Il nucleo $\cot(\pi y)$ è però molto "canallante" per $y \rightarrow 0$.

Proviamo con:

$$Hf(x) = \lim_{\epsilon \rightarrow 0} \int_{|\gamma| \leq 1/2} \cot(\pi y) \cdot f(x-y) dy$$

Toteme. (1) $f \in L^2 \Rightarrow Hf(x)$ esiste per q.o. $x \in [0,1]$

(2) $\forall p \in (1, \infty) \exists C_p > 0 : \|Hf\|_{L^p} \leq C_p \cdot \|f\|_{L^p}$

$$C_p = \cot\left(\frac{\pi}{2p}\right)$$

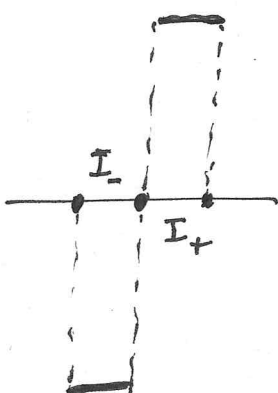
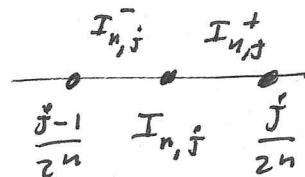
Pichorides, '72.

$$p^* = \max\left(p, \frac{p}{p-1}\right)$$

Quadrato di x : base di Heer e martingale.

In $L^2([0,1])$ puntiamo $\varphi_n \equiv 1$ e

$$\varphi_{n,j}(x) = \frac{1}{|I_{n,j}|^{1/2}} \cdot (\chi_{I_{n,j}^+} - \chi_{I_{n,j}^-})(x)$$

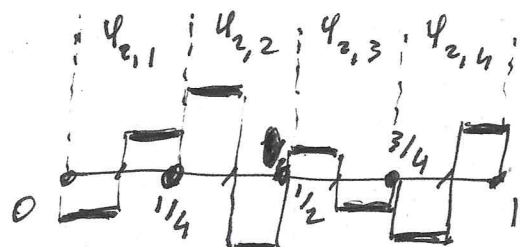


φ_n e $\varphi_{n,j}$; $1 \leq j \leq 2^n$, $n \in \mathbb{N}$

costituisce un s.o.n.c. per $L^2([0,1])$,
"sistema di Heer".

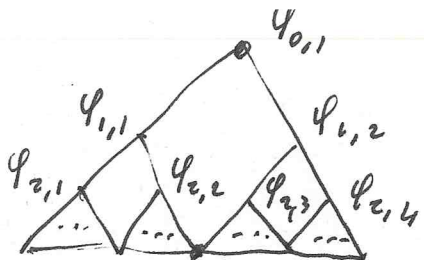
Esercizio: dimostremo che è un s.o.n.c.
(to complicare i numeri, menon bene).

$$f \in L^2([0,1]) \Rightarrow f(x) = \sum_{n,j} \langle f, \varphi_{n,j} \rangle_{L^2} \cdot \varphi_{n,j}(x)$$



"dettuglio" di f da
emergere dalle scale $\frac{1}{2^n}$ ($n=2$)

• Moral: le funzioni esempio sono allo strumento con cui si rivela (veli per ogni s.o.n.c.). Se voglio mettere in evidenza dettagli diversi, uso s.o.n.c. diversi: idea all'origine della "ondina".



Esercizio: mostriamo che le funzioni di Haar sono la stessa cosa delle martingale in (iv).

Seguiremo: moltitem gli esercizi in (iv).

P.es. $\varphi_{1,0} \leftrightarrow \frac{1}{\sqrt{2}}(\vartheta_0, \vartheta_1)$, nel senso che

$$\langle \varphi, \varphi_{1,0} \rangle \cdot \varphi_{1,0}^{(x)} = \begin{cases} \vartheta_0/\sqrt{2} & \text{per } x \in I_{0,0}^- \\ \vartheta_1/\sqrt{2} & \text{per } x \in I_{0,1}^+ \end{cases}$$

Nota. Come $e_n(x) = e^{2\pi i n x}$ emerge dal gruppo \mathbb{T} , così le $\varphi_{n,j}$ emergono dal gruppo (bolziano)

$$G = \mathbb{Z}_2 \oplus \mathbb{Z}_2^2 \oplus \dots \oplus \mathbb{Z}_2^n \oplus \dots$$

Le corrispondenti analisi spettrali ci porterebbe alla divisione dello spazio di Fock (bosonico) in una versione "baby".

Esercizio (xi). Trasformate di martingale.

Sia $v = \{v_{n,j}\}_{\substack{1 \leq j \leq 2^n \\ n \in \mathbb{N}}} \in \ell^\infty$, $|v_{n,j}| \leq 1 \quad \forall n, j$

e sia $f: [0, 1] \rightarrow \mathbb{R}$. Poniamo

$$Vf(x) = \sum_{n,j} v_{n,j} \langle f, \varphi_{n,j} \rangle_{L^2} \cdot \varphi_{n,j}(x),$$

trasformate di f secondo v .

Esercizio (ovvio): $\|Vf\|_{L^2([0,1])} \leq \|f\|_{L^2([0,1])}$

Oss. V'essere intuito che trasformata di Hilbert, si pensi al caso $v_{n,j} \in \{-1, +1\}$.

Tecniche. $\forall p \in (1, \infty)$: $\|Vf\|_{L^p} \leq B_p \cdot \|f\|_{L^p}$ (12)

Burkholder '84: $B_p = p^* - 1 := \max(p-1, \frac{1}{p-1})$.

La dimostrazione di Burkholder si basa sull'esistenza di una funzione ausiliaria $\beta: \mathbb{R}^2 \rightarrow \mathbb{R}$ con alcune proprietà ausiliarie.

L'idea riprende la dimostrazione di inizio '900 delle limitatezze di H su L^p ed è stata a sue volta ripresa da Nazarov, Tril e Volberg, che hanno sviluppato la tecnica delle "funzioni di Bellman".

Le funzioni di Bellman sono una delle otte "colpi" dell'Analisi Armonica d'oggi.

Conclusioni: Dimostrazione che H è limitata su L^p per $1 < p \leq 2$ (il caso $p > 2$ segue per simmetria).

Sia $\Phi: \mathbb{C} = \mathbb{R}^2 \rightarrow \mathbb{R}$, $\Phi(v, w) = \frac{|v|^p}{|w|^p} - c^p \cdot |w|^p$,
con $c = \left(\frac{p}{p-1}\right)^{1/p}$.

Esercizio: Φ è superarmonica; $\Delta \Phi \leq 0$ nel senso delle distribuzioni. Se $f = v + i w$ con $v = h_f$, allora $\Phi(v, w)$ è ancora superarmonica.

Dimostri: $\frac{1}{2\pi} \int_0^{2\pi} \{ |v(e^{i\theta})|^p - c^p \cdot |v(e^{i\theta})|^p \} d\theta = \frac{1}{2\pi} \int_0^{2\pi} \Phi(f(e^{i\theta})) d\theta$
 $\leq \Phi(f(0)) = |v(0)|^p - c^p \cdot |v(0)|^p = -c^p \cdot |v(0)|^p \leq 0$

↑ le funzioni superarmoniche soddisfano un super-velomax.